

CÁC HỢP CHẤT LIMONOIT VÀ TRITECPENOIT PHÂN LẬP TỪ LÁ CÂY DẦU DẦU LÁ NHẴN (*TETRADIUM GLABRIFOLIUM*)

Trương Thị Thu Hiền^{1,3}, Hoàng Lê Tuấn Anh², Phạm Hải Yến², Đan Thị Thúy Hằng²,
Nguyễn Thị Cúc², Dương Thị Hải Yến², Dương Thị Dung², Nguyễn Xuân Nhiệm¹, Nguyễn Anh Hưng⁴,
Nguyễn Văn Tuyên¹, Phan Văn Kiêm^{2*}

¹Viện Hóa học, Viện Hàn lâm Khoa học và Công nghệ Việt Nam

²Viện Hải sinh biển, Viện Hàn lâm Khoa học và Công nghệ Việt Nam

³Học viện Quân Y, Bộ Quốc Phòng

⁴Trường Đại học Sư phạm Hà Nội 2

Đến Tòa soạn 15-12-2012

Abstract

Six compounds 12-hydroxyevodol (1), rutaevine (2), lupeol (3), friedelan-3-one (4), stigmasterol (5), and daucosterol (6) were isolated from the methanol extract of the leaves of *Tetradium glabrefolium* by various chromatographic experiments. Their chemical structures were elucidated by ESI-MS, 1D and 2D NMR experiments in comparison with the reported data.

Keywords: *Tetradium glabrefolium*, Rutaceae.

I. MỞ ĐẦU

Cây Dầu dầu lá nhẵn (*Tetradium glabrefolium* (Benth.) Hartl.) thuộc họ Cam quýt (Rutaceae). Trong những năm gần đây, chi *Tetradium* được các nhà khoa học trên thế giới, quan tâm nghiên cứu và nhiều hoạt chất đã được phát hiện từ cây thuốc này như: phenol, limonoit, alcaloit, flavonoid, triterpenoit, lignan và courmarin [1-3]. Tuy nhiên, hiện nay các nghiên cứu trong nước về loài *T. glabrefolium* còn rất hiếm. Nhằm góp phần làm sáng tỏ thành phần hóa học và tìm kiếm các hoạt chất có hoạt tính sinh học của cây Dầu dầu lá nhẵn chúng tôi đã tiến hành các nghiên cứu về thành phần hóa học và một số hoạt tính sinh học của loài này.

Bài báo này thông báo kết quả phân lập và xác định cấu trúc của 6 hợp chất 12-hydroxyevodol (1), rutaevine (2), lupeol (3), friedelan-3-one (4), stigmasterol (5) và daucosterol (6) từ dịch chiết metanol lá cây *T. glabrefolium*.

2. THỰC NGHIỆM VÀ PHƯƠNG PHÁP NGHIÊN CỨU

2.1. Mẫu thực vật

Mẫu là cây *Tetradium glabrefolium* được thu hái

vào tháng 6 năm 2011 tại Tây Thiên, Vĩnh Phúc. Tên khoa học được ThS. Nguyễn Thế Cường, Viện Sinh thái và Tài nguyên sinh vật giám định. Mẫu tiêu bản được lưu trữ tại Viện Sinh thái và Tài nguyên sinh vật và Viện Hải sinh biển, Viện Hàn lâm Khoa học và Công nghệ Việt Nam.

2.2. Hóa chất thiết bị

Sắc ký lớp mỏng (TLC): Thực hiện trên bàn mỏng trắng sẵn DC-Alufolien 60 F254 (Merck 1.05715), RP18 F254s (Merck); phát hiện chất bằng đèn tử ngoại ở hai bước sóng 254 nm và 368 nm hoặc dùng thuốc thử là dung dịch H_2SO_4 10% được phun đều lên bàn mỏng, sấy khô rồi hơ nóng từ từ đến khi hiện màu.

Sắc ký cột (CC): Được tiến hành với chất hấp thụ là Silica gel pha thường và pha đảo. Silica gel pha thường có cỡ hạt là 0,040 - 0,063 mm (240 - 430 mesh). Silica gel pha đảo ODS hoặc YMC (30 - 50 μ m, Fujisilisa Chemical Ltd.).

Phó cộng hưởng từ hạt nhôm (NMR): Đo trên máy Bruker AM500 của Viện Hóa học, Viện Hàn lâm Khoa học và Công nghệ Việt Nam.

Phó khói lượng (ESI-MS): Đo trên máy LC-MSD Agilent 1200 Series (USA) của Viện Hóa học

các hợp chất thiên nhiên, Viện Hàn lâm Khoa học và Công nghệ Việt Nam.

2.3. Phân lập các hợp chất

Lá cây *Tetradium glabrifolium* khô đã được nghiền thành bột (3,5 kg) được chiết 3 lần mỗi lần 6 lít metanol nóng trên thiết bị chiết siêu âm (ở 50°C, mỗi lần 1 giờ). Dịch chiết được lọc qua giấy lọc, gom lại và loại bỏ dung môi dưới áp suất giảm thu được 180 g cặn chiết metanol. Cặn chiết này được hòa tan vào 2 lít nước cất và tiến hành chiết phân bô lần lượt với hexan và etyl axetat (2x3l) thu được các cặn dịch hexan (TGL-H, 50g) và (TGL-E, 40 g) và lớp nước (TGL-N).

Cặn chiết TGL-E (40 g) được hòa tan bằng metanol, bỏ sung silica gel tì lệ 1:1, cài loại dung môi đến khô rồi nghiên mịn. Hỗn hợp này phân tách thành bốn phân đoạn TGL-E1, TGL-E2, TGL-E3 và TGL-E4 bằng sắc ký cột silica gel pha thường với hệ dung môi rửa giải gradient có độ phân cực tăng dần hexan/axeton: 50/1 → 1/1 (v/v).

Phân đoạn TGL-E1 được tiếp tục phân tách thành 4 phân đoạn TGL-E1A, TGL-E1B, TGL-E1C và TGL-E1D bằng sắc ký cột silica gel pha thường sử dụng hệ dung môi rửa giải hexan/axeton: 10/1 (v/v). Hợp chất 3 thu được sau khi tinh chế phân đoạn TGL-E1A (250 mg) bằng sắc ký cột silica gel pha thường sử dụng hệ dung môi rửa giải hexan/ethyl axetat: 1/1 (v/v) kết hợp với sắc ký cột silica gel pha đảo rửa giải bằng axeton/nước: 5/1 (v/v).

Hợp chất 4 và 5 được tinh chế từ phân đoạn TGL-E2 (800 mg) bằng sắc ký cột silica gel pha thường sử dụng hệ dung môi rửa giải hexan/ethyl axetat: 30/1 (v/v).

Phân đoạn TGL-E4 được tiếp tục phân tách thành 4 phân đoạn TGL-E4A, TGL-E4B, TGL-E4C và TGL-E4D bằng sắc ký cột silica gel pha thường với hệ dung môi rửa giải cloroform/metanol: 30/1 (v/v). Hợp chất 6 được tinh chế từ phân đoạn TGL-E4B (500 mg) bằng sắc ký cột silica gel pha thường sử dụng hệ dung môi rửa giải hexan/ethyl axetat: 2/1 (v/v) kết hợp với sắc ký cột silica gel pha thường sử dụng hệ dung môi rửa giải cloroform/axeton: 15/1 (v/v).

Lớp nước (TGL-N) của dịch chiết metanol được cho chạy qua cột sắc ký trao đổi ion với châù hấp thụ là Dianion HP-20 (Mitsubishi Kasci Co. Ltd, Tokyo, 1000 g) với hệ dung môi rửa giải tăng dần nồng độ metanol trong nước (0, 25, 50, 75 và 100%) thu được 5 phân đoạn (TGV-N1 - TGV-N5). Hợp chất 1 và 2 thu được sau khi tinh chế tinh chế phân đoạn TGL-E4D (1,1 g) bằng sắc ký cột silica gel pha thường sử dụng hệ dung môi rửa giải hexan/axeton: 2/1 (v/v) kết hợp với sắc ký cột silica gel pha thường

sử dụng hệ dung môi rửa giải cloroform/etyl axetat: 3/1 (v/v).

12-hydroxyevodol (1): dạng vô định hình màu vàng nhạt. Công thức phân tử $C_{26}H_{28}O_{10}$ ($M = 500$). 1H -NMR (500 MHz, DMSO) và ^{13}C -NMR (125 MHz, MeOD) xem bảng 1.

Rutnevadol (2): Tinh thể màu không màu. Công thức phân tử $C_{26}H_{30}O_9$ ($M = 486$).

1H -NMR (500 MHz, DMSO) và ^{13}C -NMR (125 MHz, MeOD), xem bảng 1.

Lupeol (3): tinh thể màu trắng. Công thức phân tử $C_{10}H_{20}O$ ($M = 426$).

1H -NMR (500 MHz, CDCl₃) và ^{13}C -NMR (125 MHz, CDCl₃), xem bảng 2.

Friedelan-3-one (4): tinh thể màu trắng; điểm nóng chảy 267-268°C. Công thức phân tử $C_{30}H_{50}O$, ($M = 426$).

1H -NMR (500 MHz, CDCl₃) và ^{13}C -NMR (125 MHz, CDCl₃-DMSO) xem bảng 2.

Stigmasterol (5): tinh thể hình kim màu trắng; điểm chảy 170°C. Công thức phân tử $C_{29}H_{48}O$, ($M = 412$).

1H -NMR (500 MHz, CDCl₃) δ (ppm): 3,53 (m, H-3), 5,35 (br d, $J = 3,5$ Hz, H-6), 0,84 (3H, s, H-18), 1,03 (3H, s, H-19), 0,91 (3H, d, $J = 6,5$ Hz, H-21), 5,15 (1H, dd, $J = 8,5, 15,0$ Hz, H-22), 5,02 (1H, dd, $J = 8,5, 15,0$ Hz, H-23), 0,84 (3H, t, $J = 8,5$ Hz, H-26), 0,81 (3H, d, $J = 6,8$ Hz, H-28) và 0,68 (3H, d, $J = 9,5$ Hz, H-29).

^{13}C -NMR (125 MHz, CDCl₃) δ (ppm): 37,26 (C-1), 31,66 (C-2), 71,82 (C-3), 42,30 (C-4), 140,76 (C-5), 121,73 (C-6), 31,90 (C-7), 31,90 (C-8), 50,16 (C-9), 36,52 (C-10), 21,09 (C-11), 39,78 (C-12), 42,30 (C-13), 56,87 (C-14), 24,37 (C-15), 28,93 (C-16), 56,05 (C-17), 11,99 (C-18), 19,41 (C-19), 40,51 (C-20), 21,22 (C-21), 138,33 (C-22), 129,27 (C-23), 51,24 (C-24), 31,90 (C-25), 21,22 (C-26), 25,42 (C-27), 19,04 (C-28) và 12,26 (C-29).

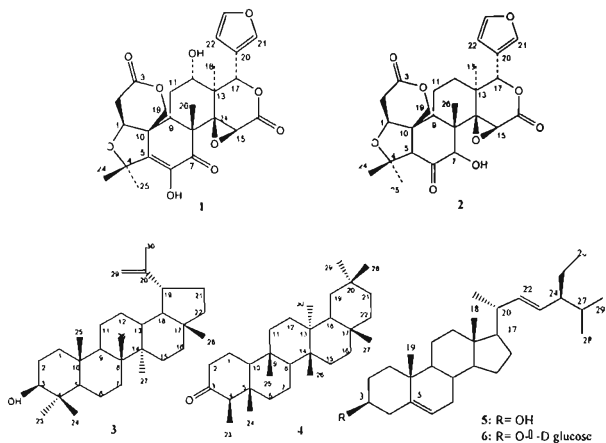
Daucosterol (6): bột màu trắng; điểm nóng chảy 283-284°C. Công thức phân tử $C_{35}H_{60}O_6$ ($M = 576$).

1H -NMR (500 MHz, DMSO) δ (ppm): 3,43 (1H, m, H-3), 5,32 (1H, br s, H-6), 0,68 (3H, s, H-18), 0,96 (3H, s, H-19), 0,91 (3H, d, $J = 6,5$ Hz, H-21), 0,84 (3H, t, $J = 7,6$ Hz, H-26), 0,81 (3H, d, $J = 6,8$ Hz, H-27), 0,83 (3H, d, $J = 7,3$ Hz, H-29), 4,22 (1H, d, $J = 8,0$ Hz, H-1'), 2,90 (m, H-2'), 3,12 (m, H-3'), 3,02 (m, H-4'), 3,07 (m, H-5'), 3,40 (m, H-6') và 3,64 (dd, $J = 6,0, 10,0$ Hz, H-6').

^{13}C -NMR (125 MHz, DMSO) δ (ppm): 36,79 (C-1), 29,22 (C-2), 76,94 (C-3), 38,29 (C-4), 140,42 (C-5), 121,11 (C-6), 31,33 (C-7), 31,38 (C-8), 49,58 (C-9), 36,16 (C-10), 20,55 (C-11), 39,33 (C-12), 41,81 (C-13), 56,14 (C-14), 23,80 (C-15), 27,73 (C-16), 55,42 (C-17), 11,61 (C-18), 18,90 (C-19), 35,43

(C-20), 18,56 (C-21), 33,33 (C-22), 25,47 (C-23), 45,13 (C-24), 28,70 (C-25), 19,63 (C-26), 22,59 (C-27), 19,03 (C-28), 11,73 (C-29), 100,79 (C-1'),

73,42 (C-2'), 76,67 (C-3'), 70,08 (C-4'), 76,67 (C-5') và 61,07 (C-6').



Hình 1: Cấu trúc hóa học của 1-6

3. KẾT QUẢ VÀ THẢO LUẬN

Hợp chất 1 thu được dưới dạng bột vô định hình, màu vàng. Phô proton $^1\text{H-NMR}$ xuất hiện tín hiệu cộng hưởng của 4 nhóm methyl bậc ba tại δ 0,86 (3H, s, H-18), 0,91 (3H, s, H-26), 1,35 (3H, s, H-25) và 1,47 (3H, s, H-24); 4 tín hiệu singlet xuất hiện ở δ 3,82, (1H, s, H-12), 4,06 (1H, s, H-15), 4,08 (1H, s, H-1) và 5,46 (1H, H-17) gợi ý sự có mặt 4 nhóm oximetin; 2 tín hiệu proton của 1 nhóm oximetilen đều ở dạng doublet với hằng số $J = 12,5$ Hz tại δ 4,67 (H_a-19), 4,57 (H_b-19). Bên cạnh đó trên phô proton cũng xuất hiện 3 tín hiệu proton olefin tại các vị trí δ 7,47 (1H, s, H-21), 7,61 (1H, s H-23) và 6,49 (1H, s, H-22) gợi ý sự có mặt của vòng furan thế β . Nhiều tín hiệu trên phô $^1\text{H-NMR}$ của 1 gợi ý cấu trúc dạng limonoid [4].

Phô $^{13}\text{C-NMR}$ và phô DEPT của 1 xuất hiện tín hiệu của 26 nguyên tử cacbon trong đó có 4 nhóm methyl, 3 nhóm metilen, 8 nhóm metin và 11 cacbon bậc 4. Thông qua các tương tác trực tiếp H-C trên phô HSQC, độ chuyên dịch hóa học của các nguyên tử proton được gán với các cacbon tương ứng (bảng 1).

So sánh với số liệu phô của của hợp chất 12 α -hydroxyevodol [4] thấy hoàn toàn phù hợp tại các vị trí tương ứng. Cấu trúc của 1 được khẳng định thêm dựa trên kết quả phân tích phô 2 chiều HMBC. Trên phô HMBC, xuất hiện tương tác giữa tín hiệu proton δ 4,08 (H-1) với các tín hiệu cacbon δ 169,83 (C-3)/69,32 (C-19); tương tác giữa tín hiệu proton δ 2,92 (H_a-2) và 2,75 (H_b-2) với các tín hiệu cacbon δ 79,01 (C-1)/169,83 (C-3)/46,87 (C-10) cho phép xác định bộ khung của vòng lacton. Các nguyên tử cacbon của vòng epoxy-lacton cũng được xác định thông qua tương tác HMBC giữa tín hiệu proton δ 4,06 (H-15) với các tín hiệu cacbon δ 64,90 (C-14)/166,60 (C-16) và giữa tín hiệu proton δ 5,46 (H-17) với các tín hiệu cacbon δ 42,14 (C-13)/64,90 (C-14)/12,91 (C-18). Tương tác giữa tín hiệu proton methyl δ 0,86 (H-18) với các tín hiệu cacbon δ 65,95 (C-12)/42,14 (C-13)/64,90 (C-14)/76,63 (C-17) cho thấy có nhóm hydroxy tại vị trí C-12. Cấu hình lập thể của H-12 được xác định là β thông qua việc so sánh độ chuyên dịch cacbon và hằng số tương tác J với hợp chất 12 α -hydroxyevodol [4]. Tương tác

HMBC giữa tín hiệu proton δ 7,74 (H-21) với các tín hiệu cacbon δ 119,74 (C-20)/110,45 (C-22)/142,93 (C-23); giữa tín hiệu proton δ 6,49 (H-22) với các tín hiệu cacbon δ 119,74 (C-20)/141,72 (C-21)/142,93 (C-23); giữa tín hiệu proton δ 7,61 (H-23) với các tín hiệu cacbon δ 119,74 (C-20)/141,72 (C-21)/110,45 (C-22) khẳng định sự xuất hiện của một vòng furan. Vòng furan này được xác định liên kết với vòng epoxy-lacton tại vị trí C-17 thông qua các tương tác HMBC giữa tín hiệu proton δ 5,46 (H-17) với các tín hiệu cacbon δ 119,74 (C-20)/141,72 (C-21)/110,45 (C-22). Từ các phân tích trên, hợp chất 1 được xác định là 12 α -hydroxycedadol, một hợp chất đã được phân lập từ loài *Evodia rutaecarpa* [4].

Hợp chất 2 thu được dưới dạng tinh thể không màu. Các phô NMR của 2 khá giống 1 gợi ý hợp chất này cũng có cấu trúc khung dạng limonoit. Phô proton $^1\text{H-NMR}$ cũng xuất hiện tín hiệu của 4 nhóm methyl bậc ba tại δ 0,66 (3H, s, H-26), 1,22 (3H, s, H-24), 1,35 (3H, s, H-25) và 1,36 (3H, s, H-18); 4 tín hiệu singlet của nhóm oximeton xuất hiện ở δ 4,16 (1H, s, H-15), 4,36 (1H, s, H-7), 4,39 (1H, brs, H-1) và 5,51 (1H, s, H-17); hai tín hiệu proton của 1 nhóm oximetilen đều ở dạng doublet với hằng số $J = 12.5$ Hz tại δ 4,30 (1H, H-19), 4,18 (1H, H-19). Một vòng furan thè β đặc trưng cho các hợp chất limonoit cũng được quan sát thấy tại δ 7,45 (1H, br s, H-21), 7,44 (1H, d, $J = 1.5$ Hz, H-23) và 6,39 (1H, br s, H-22).

Phô $^{13}\text{C-NMR}$ và phô DEPT của 2 xuất hiện tín hiệu của 26 nguyên tử cacbon trong đó có 4 nhóm methyl, 4 nhóm metilen, 9 nhóm metin và 9 cacbon bậc 4. Thông qua các tương tác trực tiếp H-C trên phô HSQC, độ chuyên dịch hóa học của các nguyên tử proton được gắn với các cacbon tương ứng (bảng 1). Dựa vào bảng 1, có thể nhận thấy sự sai khác giữa 1 và 2 ở cung độ cộng hưởng của tín hiệu cacbon C-7 đến C-13. Sự biến mất của 2 tín hiệu cacbon bậc 4 của nỗi đôi tại C-5 (140,30) và C-6 (141,94) cũng như tín hiệu oximeton C-12 (65,95) của hợp chất 1. Bên cạnh đó là sự xuất hiện thêm 2 tín hiệu cacbon metin tại vị trí cộng hưởng 81,47 (C-7), 63,61 (C-5) và sự chuyên dịch về phía trường yếu của nhóm carbonyl (206,81 so với 195,32) của hợp chất 2. Điều này gợi ý sự thay đổi chủ yếu xảy ra tại vị trí C-5, C-6, C-7 và C-12. Từ những dữ kiện phô trên kết hợp với so sánh số liệu phô $^{13}\text{C-NMR}$ của hợp chất rutaevin [4] thấy hoàn toàn phù hợp ở tất cả các vị trí tương ứng.

Các vị trí liên kết được khẳng định lại dựa trên kết quả phân tích phô 2 chiều HMBC. Tương tác HMBC giữa tín hiệu proton methyl δ 1,36 (H-18) với các tín hiệu cacbon δ 31,97 (C-12, CH_2)/37,55 (C-13)/65,47 (C-14)/77,78 (C-17) khẳng định sự mất đi của nhóm hydroxy tại vị trí C-12. Tương tác giữa tín hiệu proton

methyl δ 0,66 (H-26) với các tín hiệu cacbon δ 81,47 (C-7, CH)/48,66 (C-8)/45,60 (C-9)/65,47 (C-14) khẳng định sự có mặt của nhóm hydroxy tại vị trí cacbon C-7. Nhóm carbonyl δ 206,81 được xác định tại vị trí C-6 dưa vào tương tác HMBC của tín hiệu proton δ 3,10 (H-5) với tín hiệu cacbon C-6. Từ các phân tích trên và sự phù hợp hoàn toàn về các dữ kiện phô của 2 và rutaevin có thể khẳng định hợp chất 2 chính là rutaevin, một hợp chất đã được phân lập từ loài *Evodia rutaecarpa* [4].

Hợp chất 3 phân lập được dưới dạng tinh thể, màu trắng. Phô $^1\text{H-NMR}$ có dạng một hợp chất triterpenoid khung lup-20(29)-en với các tín hiệu của 7 nhóm methyl CH₃ cộng hưởng ở vùng trường mạnh, trong đó có 6 nhóm methyl bậc ba CH₃ tại các giá trị δ_{II} 0,97 (3H, s, H-23), 0,76 (3H, s, H-24), 0,83 (3H, s, H-25), 1,03 (3H, s, H-26), 0,94 (3H, s, H-27), 0,79 (3H, s, H-28) và một tín hiệu CH₃ tại δ 1,68 (3H, br s, H-29) thuộc nhánh isopropenyl. Tin hiệu của 2 proton olefin thuộc nhánh isopropenyl tại δ_{II} 4,68 (1H, br s, H-30) và 4,56 (1H, br s, H_b-30) rất đặc trưng của hợp chất lupan-20,29-en. Ngoài ra, tín hiệu tại 3,19 (1H, dd, $J = 11.5, 5.0$ Hz, H-3) khẳng định sự có mặt của một nhóm oximeton (CH-O) thường xuất hiện tại C-3.

Phô $^{13}\text{C-NMR}$ của 3 xuất hiện tín hiệu của 30 nguyên tử cacbon. Phân tích các tín hiệu trên phô DEPT xác nhận được gồm 7 cacbon methyl (CH₃), 11 cacbon metilen (CH₂), 6 cacbon metin (CH) và 6 cacbon không liên kết với hidro (C). Nhánh isopropenyl được xác nhận bởi các tín hiệu của 1 cacbon metilen tại δ 109,33 (C-29) cùng với tín hiệu của 1 cacbon bậc bốn tại δ 150,96 (C-20) và 1 cacbon methyl δ 19,33 (C-29). Ngoài ra, tín hiệu của 1 cacbon oximeton tại δ 79,03 (C-3) cho phép xác nhận có 1 nhóm hydroxyl trong phân tử của hợp chất 3.

So sánh số liệu phô $^{13}\text{C-NMR}$ của hợp chất 3 với số liệu của hợp chất triterpen khung lup-20(29)-en đã biết là lupeol (3β -hydroxylup-20(29)-ene) [2] nhận được sự phù hợp hoàn toàn ở tất cả các vị trí tương ứng (xem bảng 2). Nhận định này được khẳng định thêm khi xem xét đến hằng số tương tác J của proton H-3. Proton H-3 cộng hưởng tại δ 3,19 (dd, $J = 11.5, 5.0$ Hz), với hằng số tương tác $J_{H_3H_J}$ lớn, vì vậy H-3 ở vị trí axial (α) hay α , tức là nhóm OH tại C-3 chiếm vị trí equatorial (e) hay β [5]. Từ các phân tích nêu trên hợp chất 3 được xác định là 3β -hydroxylup-20(29)-ene hay lupeol.

Hợp chất 4 thu được dưới dạng chất kết tinh màu trắng. Kết quả phô khối lượng ESI-MS (tại m/z: 427 [M+H]⁺ và 449 [M+Na]⁺) và phô cộng hưởng từ hạt nhân cho phép xác định công thức

phân tử là $C_{30}H_{50}O$ ($M = 426$). Phô 1H -NMR xuất hiện tín hiệu của 8 nhóm methyl trong đó có 7 nhóm methyl bậc 3 tại δ 0,72, 0,87, 1,01, 1,00, 1,18, 1,05 và 0,95 dưới dạng các singlet và một nhóm methyl bậc 2

tại δ 0,88 dưới dạng một tín doublet ($J = 6,5$ Hz). Nhìn chung, phô 1H -NMR có dạng phô của một hợp chất tritecpen.

Bảng 1: Dữ kiện phô NMR của 1, 2 và các chất tham khảo

C	1					2				
	$^1\delta_C$	$^1\delta_C^{a,b}$	DEPT	$^1\delta_H^{a,c}$ mult, (J = Hz)	HMBC (H → C)	$^1\delta_C$	$^1\delta_C^{d,b}$	DEPT	$^1\delta_H^{d,c}$ mult, (J = Hz)	HMBC (H → C)
1	79,0	79,01	CH	4,08 (br s)	3, 9, 19	81,9	82,68	CH	4,39 (br s)	2, 3
2	35,0	34,96	CH ₂	2,92 (dd, 17,0, 2,0) 2,75 (dd, 17,0, 3,0)	1, 3, 10	35,9	35,88	CH ₂	2,71 (dd, 16,0, 3,0) 2,91 (dd, 16,0, 3,0)	1, 3, 10, 19
3	169,7	169,83	C	-		170,9	169,98	C	-	
4	81,1	81,13	C	-		81,4	82,35	C	-	
5	140,3	140,30	C			64,5	63,61	CH	3,10 (s)	4, 5, 10, 19, 25, 26
6	141,9	141,94	C	-		207,2	206,81	C	-	
7	195,3	195,33	C	-		81,4	81,47	CH	4,36 (s)	6, 9,
8	47,3	47,30	C	-		48,6	48,66	C	-	
9	42,8	42,89	CH	2,78 (d, 12,0)	1, 7, 8, 10, 11, 12, 19, 26	45,3	45,60	CH	2,78 (d, 12,0)	7, 8, 10, 11, 12, 19
10	46,9	46,87	C	-		45,6	46,02	C	-	
11	31,9	31,83	CH ₂	1,90 (ddd, 17,0, 14,0, 4,0) 1,58 (d, 14,0)	8, 9, 12, 13	19,3	19,66	CH ₂	1,76*/ 1,86*	9, 12
12	65,9	65,95	CH	3,83 (br s)		31,0	31,97	CH ₂	1,58*/ 1,84*	1, 3, 5
13	42,2	42,14	C	-		37,2	37,55	C	-	
14	64,4	64,90	C	-		65,9	65,47	C	-	
15	50,6	50,63	CH	4,06 (s)	14, 16	50,8	50,78	CH	4,16 (s)	14, 16
16	166,5	166,60	C	-		166,9	166,89	C	-	
17	76,6	76,63	CH	5,46 (s)	12, 13, 14, 18, 20, 21, 22	77,5	77,78	CH	5,51 (s)	13, 14, 18, 20, 21
18	12,9	12,91	CH ₃	0,86 (s)	12, 13, 14, 17	20,5	20,97	CH ₃	1,36 (s)	13, 14, 17
19	69,3	69,32	CH ₂	4,67 (d, 12,5) 4,57 (d, 12,5)	1, 3, 9, 10	69,8	69,78	CH ₂	4,30 (d, 12,5) 4,18 (d, 12,5)	12, 13, 26
20	119,7	119,74	C	-		120,0	119,54	C	-	
21	141,6	141,72	CH	7,74 (s)	20, 22, 23	141,6	140,86	CH	7,45 (br s)	20, 22, 23
22	110,4	110,45	CH	6,49 (s)	20, 21, 23	110,3	109,45	CH	6,39 (br s)	20, 21, 22
23	142,9	142,93	CH	7,61 (s)	20, 21, 22	143,4	143,07	CH	7,44 (d, 1,5)	20, 21, 22
24	25,5	25,54	CH ₃	1,47 (s)	4, 5, 25	23,8	23,93	CH ₃	1,22 (s)	4, 5, 26
25	25,0	25,04	CH ₃	1,35 (s)	4, 5, 24	28,8	28,35	CH ₃	1,43 (s)	4, 5, 25
26	17,5	17,05	CH ₃	0,91 (s)	7, 8, 9, 14	14,7	14,57	CH ₃	0,66 (s)	7, 9, 14

^ado trong DMSO, ^b125 MHz, ^c500 MHz, ^ddo trong CDCl₃, ^e $^1\delta_C$ của 12-hydroxyevodol do trong DMSO, 400 MHz [4],

^f $^1\delta_C$ của rutaevine do trong DMSO ở 90 MHz [4].

Phô ^{13}C -NMR xuất hiện tín hiệu của 30 cacbon, trong đó dựa vào kết quả của các phô DEPT cho thấy hợp chất 4 có 7 cacbon bậc bốn tại δ 212,82 (C-3), 41,88 (C-5), 37,21 (C-9), 39,42 (C-13), 38,07 (C-14), 29,75 (C-17), 27,92 (C-20); 5 cacbon metin tại δ 57,94 (C-4), 52,84 (C-8), 59,21 (C-10), 30,25 (C-12), 42,59 (C-18); 10 cacbon metilen tại δ 22,03 (C-1), 41,27 (C-2), 41,04 (C-6), 17,99 (C-7), 35,78 (C-11), 32,57 (C-15), 35,78 (C-16), 35,38 (C-19), 32,18 (C-21), 39,00 (C-22); 8 cacbon methyl tại δ 6,57 (C-23), 14,41 (C-24), 17,69 (C-25), 20,00 (C-26), 18,40 (C-27), 31,86 (C-28), 31,56 (C-29), 35,10 (C-30).

Trong đó, tín hiệu của nhóm carbonyl ($C=O$) được xác định tại δ 212,82 (C-3), tín hiệu một nhóm methyl bậc 2 tại δ_C 6,57/ δ_1 0,88 (d, $J = 7,0$ Hz) đặc trưng cho nhóm methyl liên kết với carbon C-4 của khung friedelan. Từ các dữ kiện phò nêu trên cho phép dự đoán hợp chất 4 là friedelan-3-one. So sánh thêm các dữ kiện phò của 4 với hợp chất friedelan-3-one [6], đặc biệt là giá trị δ_C và hằng số tương tác J -coupling

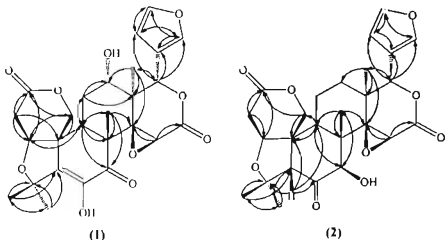
của các proton ta thấy hoàn toàn trùng khớp. Như vậy, hợp chất 4 được khẳng định là friedelan-3-one với công thức phân tử là $C_{30}H_{50}O$ ($M = 426$).

Các hợp chất 5 và 6 được xác định là stigmasterol (5) [7] và daucosterol (6) [8] bằng cách so sánh dữ kiện phò và các hằng số vật lý với các hợp chất đã được công bố.

Bảng 2: Dữ kiện phò NMR của 3, 4 và các chất tham khảo

C	3				4			
	$^1\delta_C$	$^1\delta_C^{d,b}$	DEPT	$^1\delta_H^{d,c}$ mult. ($J = 11$ Hz)	$^1\delta_C$	$^1\delta_C^{d,b}$	DEPT	$^1\delta_H^{d,c}$ (mult, $J = 11$ Hz)
1	38,7	38,76	CH ₂		22,28	22,03	CH ₂	1,96 (m)
2	27,5	27,46	CH ₂		41,53	41,27	CH ₂	2,39 (dd, 4,0, 14,0) 2,28 (m)
3	79,0	79,03	CH	3,19 dd (11,5, 5,0)	213,17	212,82	C	-
4	38,9	38,89	C		58,24	57,94	CH	2,28 (m)
5	55,3	55,36	CH		42,14	41,88	C	-
6	18,3	18,35	CH ₂		41,30	41,04	CH ₂	
7	34,3	34,34	CH ₂		18,24	17,99	CH ₂	
8	40,9	40,88	C		53,12	52,84	CII	
9	50,5	50,50	CH		37,45	37,21	C	
10	37,2	37,21	C		59,50	59,21	CII	
11	21,0	20,97	CH ₂		35,64	35,78	CH ₂	
12	25,2	25,21	CH ₂		30,50	30,25	CH ₂	
13	38,1	38,11	CH		39,71	39,42	C	-
14	42,9	42,87	C		38,31	38,07	C	-
15	27,5	27,49	CH ₂		32,78	32,57	CH ₂	
16	35,6	35,62	CH ₂		36,01	35,78	CH ₂	
17	43,0	43,03	-		29,99	29,75	C	-
18	48,0	48,36	CH		42,81	42,59	CII	
19	48,3	48,01	CH	2,38 ddd (11, 11, 6,0)	35,35	35,38	CH ₂	
20	150,9	150,96	C		28,18	27,92	C	-
21	29,9	29,90	CH ₂		32,44	32,18	CH ₂	
22	40,0	40,03	CH ₂		39,24	39,00	CH ₂	
23	28,0	28,01	CH ₃	0,97 s	6,81	6,57	CH ₃	0,88 (d, 6,5)
24	15,3	15,38	CH ₃	0,76 s	14,65	14,41	CH ₃	0,72 (s)
25	16,1	16,13	CH ₃	0,83 s	17,94	17,69	CH ₃	0,87 (s)
26	16,0	16,01	CH ₃	1,03 s	20,25	20,00	CH ₃	1,01 (s)
27	14,6	14,58	CH ₃	0,94 s	18,65	18,40	CH ₃	1,00 (s)
28	18,0	18,03	CH ₃	0,79 s	32,09	31,86	CH ₃	1,18 (s)
29	19,3	19,33	CH ₃	1,68 br s	31,77	31,56	CH ₃	1,05 (s)
30	109,3	109,33	CH ₂	4,68 br s, 4,56 br s	35,01	35,10	CH ₃	0,95 (s)

^ađo trong CDCl₃, ^b125 MHz, ^c500 MHz, ^d δ_C của lupeol đo trong CDCl₃ [5], ^e δ_C của friedelan-3-one đo trong CDCl₃, 67,9 MHz [6].

**Hình 2:** Các tương tác HMBC (H → C) chính của 1 và 2

4. KẾT LUẬN

Bằng các phương pháp phổ kết hợp, cấu trúc hóa học của lần lượt được xác định là: 12-hydroxyevodol (1), rutaevine (2), lupeol (3), friedelan-3-one (4), stigmasterol (5) và daucosterol (6).

TÀI LIỆU THAM KHẢO

- 1 Phạm Hoàng Hò. *Cây có Việt Nam*, Nxb. Trẻ, tập II, 413 (2003).
- 2 *Dictionary of Natural Products on DVD*, version 18.1, Copyright© 1982-2009 CRC Press.
- 3 W. Tian-Shung, C. Feng-Chu, W. Pei-Lin, K. Chang - Sheng, and C. Ih-Sheng. *Constituents of Leaves of Tetradium glabrifolium*, Journal of Chinese Chemical Society, **42**, 929-934 (1995).
- 4 S. Tohru, M. Toshio, K. Masanori and U. Akira. *Limonoids and Quinolone Alkaloids from Evodia* *rutaecarpa*. *Bentham. Chemical and Pharmaceutical Bulletin*, **36(11)**, 4453-4461 (1988).
- 5 M. Sholichin, K. Yamasaki, R. Kasai, O. Tanaka. ¹³C Nuclear magnetic resonance of lupane - type triterpenes, Lupeol, Betulin and betulinic acid, *Chemical and Pharmaceutical Bulletin*, **28(3)**, 1006-1008 (1980).
- 6 A. Hisham, G. J. Kumar, Y. Fujimoto, and N. Hara. Salacianone and salacianol, two triterpenes from *Salacia beddomei*, *Phytochemistry*, **40(4)**, 1227-1231 (1995).
- 7 K. Darong, W. Juraithip, D. Wanchai. Biosynthesis of β -sitosterol and stigmasterol proceeds exclusively via the mevalonate pathway in cell suspension culture of *Croton stellatopilosus*. *Tetrahedron Letters*, **49**, 4067-4072 (2009).
- 8 V. Laurence, L. Catherine, M. Georges, S. Thierry, A. H. Hamid. Cytotoxic isoprenes and glycosides of long-chain fatty alcohols from *Dimocarpus fumatus*, *Phytochemistry*, **50(1)**, 63-69 (1999).

Liên hệ: Phan Văn Kiệm

Viện Hàn lâm Khoa học và Công nghệ Việt Nam
18 Hoàng Quốc Việt, Cầu Giấy, Hà Nội
E-mail: phankiem@yahoo.com
Điện thoại: 0983555031.